

Л. М. Потиха,* В. В. Сыпченко, В. А. Ковтуненко

КОНДЕНСИРОВАННЫЕ ИЗОХИНОЛИНЫ

36.* ЦИКЛИЗАЦИЯ СОЛЕЙ N-АЛКИЛ-3-(2-БЕНЗОИЛБЕНЗИЛ)АЗОЛИЯ — НОВЫЙ МЕТОД СИНТЕЗА ПРОИЗВОДНЫХ АЗОЛО[*b*]ИЗОХИНОЛИНОВ

Предлагается новый способ получения производных азоло[*b*]изохинолинов, состоящий в алкилировании N-алкил-1,3-диазолов или 1,3-тиазола производными [2-(бромметил)фенил](фенил)метанона и последующей циклизации четвертичных солей азолия под действием оснований. Полученные таким образом 10(11)-гидроксипроизводные бромидов 5,10-дигидро-1Н-имидазо[1,2-*b*]изохинолиния, 6,11-дигидро-5Н-бензимидазо[1,2-*b*]изохинолиния, 5,10-дигидро-1Н-[1,2,4]триазоло[4,3-*b*]изохинолиния и 5,10-дигидро[1,3]тиазоло[3,2-*b*]изохинолиния легко теряют молекулу воды при нагревании с НВт или в Ac₂O, образуя соответствующие квазиароматические соли азоло[*b*]изохинолиния.

Ключевые слова: бензимидазо[1,2-*b*]изохинолин, бензофенон, имидазо[1,2-*b*]изохинолин, [1,3]тиазоло[3,2-*b*]изохинолин, [1,2,4]триазоло[4,3-*b*]изохинолин.

Взаимодействие аминов с эквивалентами 1,5-диэлектрофильных синтонов — одно из направлений в дизайне структур изохинолинового типа. Такой тип гетероциклизации был продемонстрирован нами ранее на основе *o*-брому метилфенилацетонитрила [2] и *o*-цианометилбензойной кислоты [3].

В настоящей работе мы предлагаем для получения конденсированных изохинолинов новый эквивалент 1,4-диэлектрофильных синтонов — производные [2-(брому метил)фенил](фенил)метанона (*o*-брому метилбензофенона) **1a,b**. Их структура винилогов [4] *α*-бромацетофенона [5] позволяет предположить возможность совместного участия карбонильной и бромметильной функций в циклизациях. Эти эквиваленты известны давно, но в силу труднодоступности их синтетический потенциал использован недостаточно.

Нами найдено, что взаимодействие *o*-брому метилбензофенонов **1a,b** с 1-алкил-1Н-имидазолами **2a,e**, 1-метил-1Н-бензимидазолом (**2b**), 1-метил-1Н-1,2,4-триазолом (**2c**) и 4-метил-1,3-тиазолом (**2d**) в бензоле при комнатной температуре ведёт к бромидам N-(2-бензоилбензил)азолия **3a-d**, **4a-e** с высокими выходами (61–89%).

Скорость образования четвертичных солей **3**, **4** и их выход определяются преимущественно основностью азола: с её уменьшением время реакции возрастает (от 1–2 дней для имидазолов до 30 для тиазола), а выход — уменьшается (от 85–89% для имидазолов до 61% для тиазола).

* Сообщение 35 см. [1].

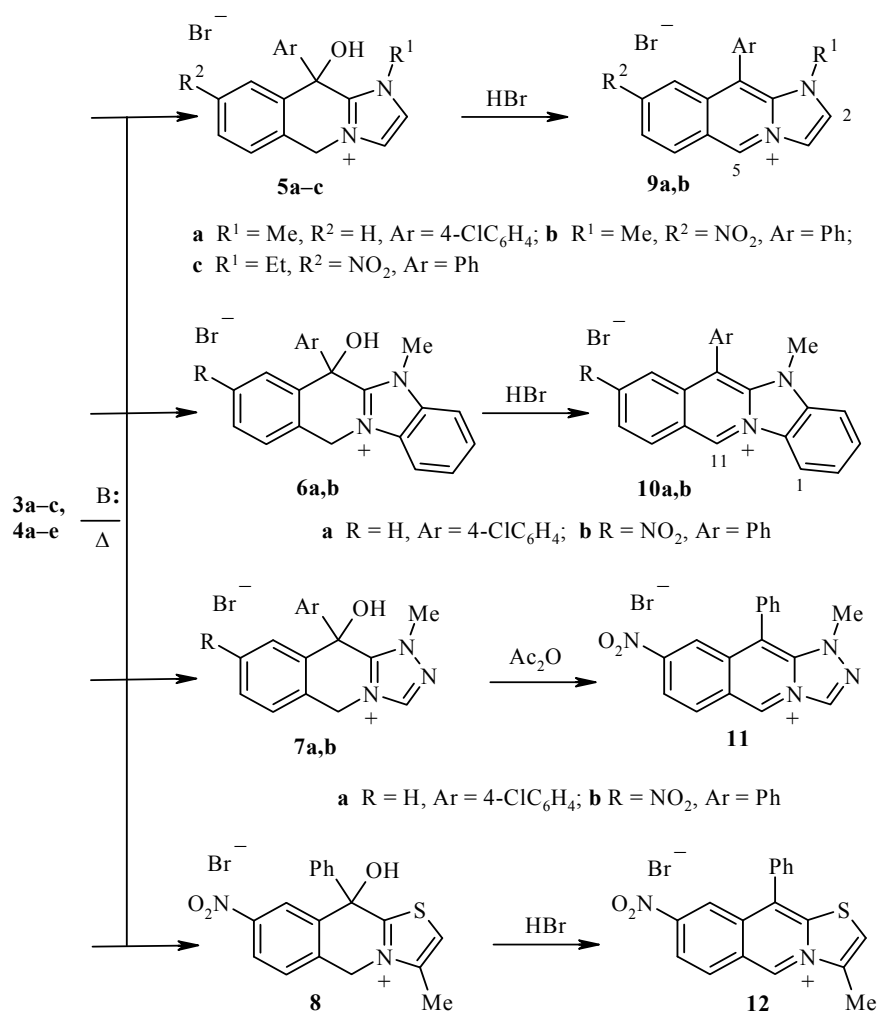
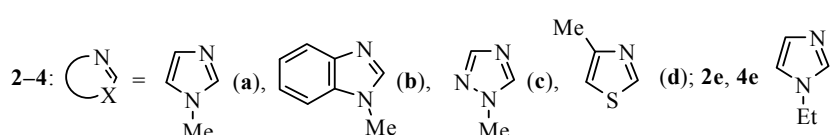
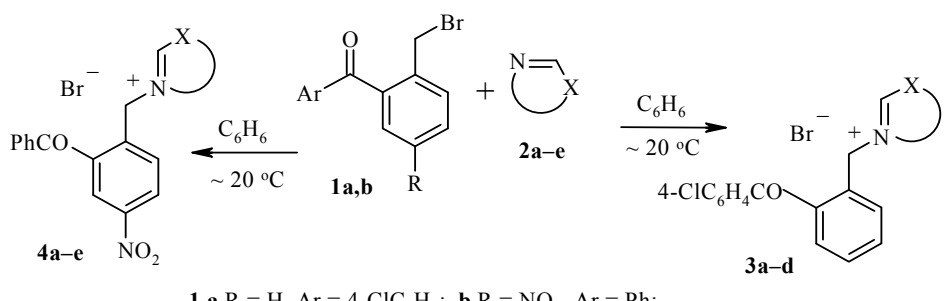


Таблица 1

Спектральные данные соединений 3, 4

Соединение	ИК спектр, $\nu, \text{см}^{-1}$	Спектр ЯМР ^1H (dMCO-d_6), $\delta, \text{м.д.} (J, \Gamma_{\text{II}})$			
		H-2, (1H, c)	Ароматические протоны		CH ₂ , (2H, c)
3a	3064, 1650 (C=O), 1586, 1569, 1267, 1163, 1082, 929, 738, 632	9.18	7.74–7.65 (7H, m, H Ar); 7.57–7.52 (3H, m, H Ar)		5.53 (3H, c, NCH ₃)
3b	3042, 2975, 1656 (C=O), 1583, 1566, 1272, 1091, 923, 761, 752	9.68	7.98 (1H, d, $^3J = 8.0, \text{H-4}^{\prime}$); 7.82 (1H, d, $^3J = 8.0, \text{H-7}^{\prime}$); 7.69–7.57 (9H, m, H Ar); 7.50 (1H, d, $^3J = 8.0, \text{H-3}^{\prime}$)		5.88 (3H, c, NCH ₃)
4a	3137, 3048, 1653 (C=O), 1527 (NO ₂), 1345 (NO ₂), 1320, 1155, 719	9.18	8.48 (1H, d, $^3J = 8.0, \text{H-4}^{\prime}$); 8.28 (1H, c, H-6'); 7.82–7.72 (6H, m, H Ar); 7.61 (2H, t, $^3J = 8.0, \text{H-3}^{\prime\prime}, 5^{\prime\prime}$)		5.66 (3H, c, NCH ₃)
4b	3081, 2992, 1656 (C=O), 1532 (NO ₂), 1449, 1351 (NO ₂), 1273, 747, 730	9.71	8.44 (1H, d, $^3J = 8.0, \text{H-4}^{\prime}$); 8.33 (1H, c, H-6'); 7.97 (1H, d, $^3J = 8.0, \text{H-4}^{\prime}$); 7.79 (1H, d, $^3J = 8.0, \text{H-7}^{\prime}$); 7.73–7.62 (6H, m, H Ar); 7.54 (2H, t, $^3J = 8.0, \text{H-3}^{\prime\prime}, 5^{\prime\prime}$)		6.02 (3H, c, NCH ₃)
4c	3008, 2969, 1664 (C=O), 1524 (NO ₂), 1354 (NO ₂), 1320, 1267, 1147, 722, 691	10.15*	9.25 (1H, c, H-3'); 8.52 (1H, d, $^3J = 8.0, \text{H-4}^{\prime}$ '); 8.31 (1H, d, $^3J = 8.0, \text{H-6}^{\prime}$ '); 7.91–7.82 (4H, m, H Ar); 7.63 (2H, t, $^3J = 8.0, \text{H-3}^{\prime\prime}, 5^{\prime\prime}$)		5.74 (3H, c, NCH ₃)
4d	3052, 2980, 1659 (C=O), 1575, 1522 (NO ₂), 1449, 1348 (NO ₂), 1309, 1273, 957, 797, 744, 694, 646	10.13	8.48 (1H, d, $^3J = 8.0, \text{H-4}^{\prime}$); 8.33 (1H, d, $^3J = 8.0, \text{H-6}^{\prime}$ '); 8.09 (1H, c, H-5'); 7.83 (2H, d, $^3J = 8.0, \text{H-2}^{\prime\prime}, 6^{\prime\prime}$ '); 7.79 (1H, t, $^3J = 8.0, \text{H-4}^{\prime\prime}$ '); 7.62 (2H, t, $^3J = 8.0, \text{H-3}^{\prime\prime}, 5^{\prime\prime}$ '); 7.47 (1H, d, $^3J = 8.0, \text{H-3}^{\prime}$)		6.02 (3H, c, 4-CH ₃)

* 1H, c, H-5.

Результат реакции зависит и от строения используемого бензофенона **1**. В случае соединения **1a** не удалось получить в чистом виде соответствующие бромиды **3c** и **3d**, а выделены смеси четвертичных солей с гидробромидом исходного азола. Попытки увеличить выход четвертичных солей **3** и **4** путём нагревания или увеличения времени выдерживания смеси реагентов при комнатной температуре привели к появлению в реакционной смеси продуктов циклизации, инициируемой основанием – исходным азолом. Подобный результат (смесь четвертичной соли **4e** и продукта дальнейшей циклизации) получен и в реакции бензофенона **1b** с 2-этил-1Н-имидацолом **2e**. Строение солей **3**, **4** определено методами ИК и ЯМР ¹H спектроскопии (табл. 1).

При нагревании в присутствии оснований (морфолин, триэтиламин) четвертичные соли азолия с высокими выходами (62–93%) циклизуются в бромиды 1-алкил-10-арил-10-гидрокси-5,10-дигидро-1Н-имидацо[1,2-*b*]-изохинолин-4-ия **5a–c**, 6-арил-6-гидрокси-5-метил-6,11-дигидро-5Н-бензимидацо[1,2-*b*]изохинолин-12-ия **6a,b**, 10-арил-10-гидрокси-1-метил-5,10-дигидро-1Н-[1,2,4]триазоло[4,3-*b*]изохинолин-4-ия **7a,b** и 10-гидрокси-3-метил-8-нитро-10-фенил-5,10-дигидро[1,3]тиазоло[3,2-*b*]изохинолин-4-ия (**8**). Проделание реакции в ацетоне в присутствии морфолина ведёт к продуктам реакции **5–8** высокой степени чистоты и практически не нуждающимся в дальнейшей очистке. При использовании триэтиламина как основания (в ацетоне), или этанола как растворителя (морфолин или триэтиламин в качестве основания) наблюдается, согласно данным спектров ЯМР ¹H, образование до 30% продуктов дегидратации.

На структуру гидроксипроизводных 1,4-дигидроизохинолина указывает присутствие сигналов группы OH в ИК спектрах соединений **5–8** (табл. 2): уширенная полоса ν_{OH} 3171–3064 cm^{-1} и полоса средней интенсивности $\nu_{\text{C}-\text{O}}$ 1043–1049 cm^{-1} – в области, характерной для валентных колебаний связи C–O третичных спиртов. В спектрах ЯМР ¹H синглет группы OH (обменивающейся с D₂O) наблюдается в области 7.9–8.3 м. д., а сигнал метиленовой группы – при 5.6–6.4 м. д. в виде двух дублетов AB-спиновой системы с $^2J = 16.5$ –19.0 Гц.

Для доказательства строения солей **5–8** и точного отнесения сигналов в их спектрах ЯМР были измерены спектры ЯМР ¹³C, COSY и NOESY соединения **5b**, а также применены методы гетероядерной (HMBC и HMQC) двумерной корреляционной спектроскопии. Представленные на рис. *a* результаты обработки двумерного спектра NOESY позволили надёжно отнести сигналы в протонном спектре соединения **5b**. Положение сигнала протона гидроксильной группы (8.11 м. д.) следует из наличия для него отрицательной корреляции в спектре NOESY с сигналом воды, присущей в растворителе. Эта корреляция свидетельствует о наличии протонного обмена. Строение углеродного скелета подтверждено на основании гетероядерных корреляций (рис. *b*).

Известно [6], что 1(4)-гидроксипроизводные 1,4-дигидроизохинолина легко ароматизуются в присутствии сильных кислот. И в нашем случае, при нагревании гидроксипроизводных бромидов азоло[*b*]изохинолиния **5a,b**, **6a,b**, **8** в присутствии бромоводородной кислоты, происходит дегидратация

Таблица 2

Данные спектров ЯМР ^1H и ИК спектров бромидов азолов[*b*]изохинолиния 5–12

Соединение	ИК спектр, $\nu, \text{см}^{-1}$	Спектр ЯМР ^1H ($\text{ДМСО}-\text{d}_6$), $\delta, \text{м.д.} (J, \Gamma_{\text{ц}})$		Другие сигналы
		Ароматические сигналы	$\text{H-5} (\text{H-11}^*)$	
5a	3137 (OH), 1494, 1197, 1096, 1043 (C=O), 820, 769	8.03 (1H, с, H-3); 7.90 (1H, с, H-2); 7.50–7.41 (8H, м, H Ar)	5.82 (1H, д, $^2J = 18.0$, $\text{H}_{\text{A}}\text{-5}$); 5.72 (1H, д, $^2J = 18.0$, $\text{H}_{\text{B}}\text{-5}$)	7.86 (1H, с, OH); 3.61 (3H, с, NCH_3)
5b	3171 (OH), 3070, 1536 (NO_2), 1356 (NO_2), 1189, 1043 (C=O), 741, 702	8.27 (1H, д, $^3J = 8.5$, H-7); 8.16 (1H, с, H-9); 8.09 (1H, с, H-3); 7.94 (1H, с, H-2); 7.83 (1H, д, $^3J = 8.5$, H-6); 7.47 (2H, д, $^3J = 8.0$, H-2, $^6J = 8.0$, H-2'); 7.45 (2H, т, $^3J = 8.0$, H-3, $^5J = 8.0$, H-4); 7.37 (1H, т, $^3J = 8.0$, H-4')	6.02 (1H, д, $^2J = 18.0$, $\text{H}_{\text{A}}\text{-5}$); 5.92 (1H, д, $^2J = 18.0$, $\text{H}_{\text{B}}\text{-5}$)	8.11 (1H, с, OH); 3.61 (3H, с, NCH_3)
5c	3143 (OH), 3098, 1530 (NO_2), 1351 (NO_2), 1183, 1046 (C=O), 764, 741, 702	8.26 (1H, д, $^3J = 8.5$, H-7); 8.16 (1H, с, H-9); 8.14 (1H, с, H-3); 8.07 (1H, с, H-2); 7.84 (1H, д, $^3J = 8.5$, H-6); 7.49 (2H, д, $^3J = 8.0$, H-2, $^6J = 8.0$, H-2'); 7.45 (2H, т, $^3J = 8.0$, H-3, $^5J = 8.0$, H-4); 7.38 (1H, т, $^3J = 8.0$, H-4')	6.04 (1H, д, $^2J = 17.5$, $\text{H}_{\text{A}}\text{-5}$); 5.94 (1H, д, $^2J = 17.5$, $\text{H}_{\text{B}}\text{-5}$)	8.22 (1H, с, OH); 4.14 (2H, м, CH_2); 0.97 (3H, т, $^3J = 7.5$, CH_3)
6a	3064 (OH), 1541, 1485, 1066 (C=O), 1010, 831, 758	8.22 (1H, д, $^3J = 8.0$, H-1); 8.07 (1H, д, $^3J = 8.0$, H-4); 7.85–7.79 (2H, м, H-2,3); 7.60–7.56 (3H, м, H Ar); 7.51–7.47 (5H, м, H Ar)	6.10 (1H, д, $^2J = 16.5$, $\text{H}_{\text{A}}\text{-11}$); 6.04 (1H, д, $^2J = 16.5$, $\text{H}_{\text{B}}\text{-11}$)	8.12 (1H, с, OH); 3.88 (3H, с, NCH_3)
6b	3109 (OH), 1546, 1533 (NO_2), 1351 (NO_2), 1049 (C=O), 755, 705	8.33 (1H, д, $^3J = 8.5$, H-9); 8.23 (1H, с, H-7); 8.20 (1H, д, $^3J = 8.0$, H-1); 8.09 (1H, д, $^3J = 8.0$, H-4); 7.90–7.80 (3H, м, H-2,3,10); 7.61 (2H, д, $^3J = 8.0$, H-2, $^6J = 8.0$, H-2'); 7.46 (2H, т, $^3J = 8.0$, H-3, $^5J = 8.0$, H-4')	6.32 (1H, д, $^2J = 17.0$, $\text{H}_{\text{A}}\text{-11}$); 6.23 (1H, д, $^2J = 17.0$, $\text{H}_{\text{B}}\text{-11}$)	8.38 (1H, с, OH); 3.89 (3H, с, NCH_3)
7a	3092 (OH), 1494, 1178, 1097, 1057 (C=O), 822, 772	9.53 (1H, с, H-3); 7.56 (1H, д, $^3J = 7.5$, H-9); 7.50–7.44 (7H, м, H Ar)	5.87 (1H, д, $^2J = 17.0$, $\text{H}_{\text{A}}\text{-5}$); 5.79 (1H, д, $^2J = 17.0$, $\text{H}_{\text{B}}\text{-5}$)	8.11 (1H, с, OH); 3.89 (3H, с, NCH_3)

7b	3126 (OH), 3076, 1533 (NO_2), 1354 (NO_2), 1175, 1049 (C=O), 817, 741, 702, 649	9.58 (1H, c, H-3); 8.35 (1H, c, H-9); 8.32 (1H, d, $^3J = 8.5$, H-7); 7.91 (1H, d, $^3J = 8.5$, H-6); 7.52 (2H, d, $^3J = 8.0$, H-2', 6'); 7.42 (2H, t, $^3J = 8.0$, H-3', 5'); 7.38 (1H, t, $^3J = 8.0$, H-4')	6.07 (1H, d, $^2J = 19.5$, H _A -5); 5.97 (1H, d, $^2J = 19.5$, H _B -5)	8.20 (1H, c, OH); 3.90 (3H, c, NCH ₃)
8	3148 (OH), 3109, 1533 (NO_2), 1351 (NO_2), 1043 (C=O), 758, 738, 699	8.70 (1H, c, H-2'); 8.40 (2H, m, H-7, 9'); 7.93 (1H, d, $^3J = 8.5$, H-6); 7.40 (3H, m, H-3'-H-5'); 7.34 (2H, d, $^3J = 8.0$, H-2', 6')	6.09 (1H, d, $^2J = 19.0$, H _A -5); 5.67 (1H, d, $^2J = 19.0$, H _B -5)	8.17 (1H, c, OH); 2.69 (3H, c, 3-CH ₃)
9a	3030, 2986, 1634 (C=N), 1510, 1399, 1088, 831, 750	8.68 (1H, d, $^3J = 2.0$, H-3); 8.42 (1H, d, $^3J = 2.0$, H-2); 8.31 (1H, d, $^3J = 8.0$, H-6); 7.77 (2H, d, $^3J = 8.0$, H-2', 6'); 7.74-7.69 (2H, m, H-7, 8); 7.66 (2H, d, $^3J = 8.0$, H-3', 5'); 7.43 (1H, d, $^3J = 8.0$, H-9)	10.06 (1H, c, H-5)	3.43 (3H, c, NCH ₃)
9b	3025, 2992, 1620 (C=N), 1533 (NO ₂), 1340 (NO ₂), 1262, 1104, 405	8.88 (1H, c, H-3); 8.61 (1H, c, H-2); 8.57 (1H, d, $^3J = 9.0$, H-6); 8.27 (1H, d, $^3J = 9.0$, H-7); 8.22 (1H, c, H-9); 7.76 (3H, m, H-3'-H-5'); 7.70 (2H, d, $^3J = 8.0$, H-2', 6')	10.26 (1H, c, H-5)	3.45 (3H, c, NCH ₃)
10a	3014, 2924, 1639 (C=N), 1617, 1508, 1396, 831, 738	8.90 (1H, d, $^3J = 8.0$, H-1); 8.45 (1H, d, $^3J = 8.0$, H-10); 8.09 (1H, d, $^3J = 8.0$, H-4); 7.98 (1H, t, $^3J = 8.0$, H-3); 7.92 (1H, t, $^3J = 8.0$, H-2); 7.90-7.78 (4H, m, H-8, 9, 2', 6'); 7.69 (2H, d, $^3J = 8.0$, H-3', 5');	11.03 (1H, c, H-11)	3.50 (3H, c, NCH ₃)
10b	3014, 2924, 1622 (C=N), 1608, 1536, 1508 (NO_2), 1480, 1343 (NO ₂), 1329, 1080, 769, 710	7.54 (1H, d, $^3J = 8.0$, H-7)	11.10 (1H, c, H-11)	3.52 (3H, c, NCH ₃)
11	3042, 1617 (C=N), 1533 (NO_2), 1345 (NO_2), 831, 702	8.90 (1H, d, $^3J = 8.0$, H-1); 8.65 (1H, d, $^3J = 8.5$, H-10); 8.39 (1H, d, $^3J = 8.5$, H-9); 8.30 (1H, c, H-7); 8.16 (1H, d, $^3J = 8.0$, H-4); 8.07 (1H, t, $^3J = 8.0$, H-3); 7.89 (1H, t, $^3J = 8.0$, H-2); 7.81 (3H, m, H-3'-H-5'); 7.72 (2H, d, $^3J = 8.0$, H-2', 6')	10.27 (1H, c, H-5)	3.65 (3H, c, NCH ₃)
12	3048, 1603 (C=N), 1527 (NO_2), 1334 (NO_2), 1314, 1228, 1077, 853, 825, 699	10.31 (1H, c, H-3); 8.68 (1H, d, $^3J = 9.0$, H-6); 8.30 (1H, d, $^3J = 9.0$, H-7); 8.26 (1H, c, H-9); 7.80 (3H, m, H-3'-H-5'); 7.70 (2H, d, $^3J = 8.0$, H-2', 6')	10.68 (1H, c, H-5)	3.34 (3H, c, 3-CH ₃)

* Для производных бензимидазо[1,2-*b*]изохинолина **6a,b** и **10a,b**.

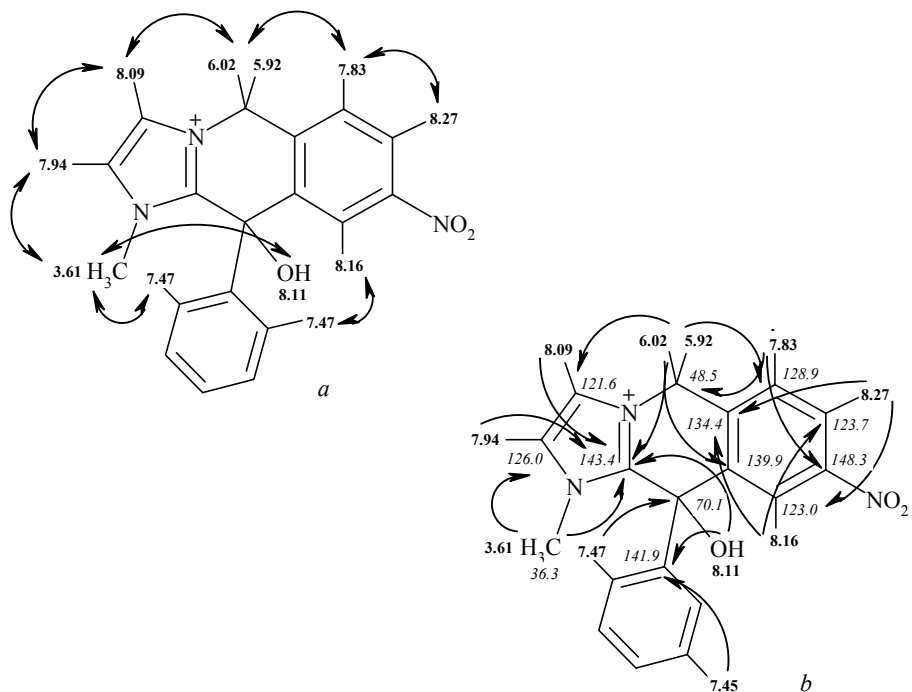
Таблица 3

Физико-химические свойства синтезированных соединений

Соеди- нение	Брутто- формула	Найдено, %						Выход, %
		C	H	Br	Cl	N	S	
3a	$C_{18}H_{16}BrClN_2O$	55.22 55.19	4.09 4.12	20.42 20.40	9.04 9.05	7.18 7.15		135–136 85
3b	$C_{22}H_{18}BrClN_2O$	59.78 59.82	4.13 4.11	18.10 18.09	8.05 8.03	6.30 6.34		220–221 77
4a	$C_{18}H_{16}BrN_3O_3$	53.71 53.75	4.06 4.01	19.88 19.86		10.44 10.45		160–162 89
4b	$C_{22}H_{18}BrN_3O_3$	58.40 58.42	3.98 4.01	17.65 17.67		9.30 9.29		171–172 63
4c	$C_{17}H_{15}BrN_4O_3$	50.61 50.64	3.77 3.75	19.80 19.82		13.86 13.89		184–186 67
4d	$C_{18}H_{15}BrN_2O_3S$	51.50 51.56	3.62 3.61	19.07 19.06		6.67 6.68		187–188 61
5a	$C_{18}H_{16}BrClN_2O$	55.21 55.19	4.15 4.12	20.41 20.40	9.02 9.05	7.18 7.15		> 300 (разл.) 89
5b	$C_{18}H_{16}BrN_3O_3$	53.71 53.75	3.99 4.01	19.87 19.86		10.40 10.45		280–282 (разл.) 87

5c	C ₁₉ H ₁₈ BrN ₃ O ₃	54.78 54.82 59.80 59.82	4.31 4.36 4.15 4.11	19.18 19.20 18.11 18.09	8.05 8.03 6.35 6.34	10.12 10.09 6.31 9.31	229–230 (разл.) > 300 (разл.)	80 92
6a	C ₂₂ H ₁₈ BrClN ₂ O	58.38 58.42	4.02 4.01	17.65 17.67	9.29	290–291 (разл.)	290–291 (разл.)	93
6b	C ₂₂ H ₁₈ BrN ₃ O ₃	51.98 52.00	3.80 3.85	20.36 20.35	9.05 9.03	10.73 10.70	> 300 (разл.)	87
7a	C ₁₇ H ₁₅ BrClN ₃ O	50.62 50.64	3.78 3.75	19.80 19.82	13.91 13.89	241–243 (разл.)	241–243 (разл.)	88
7b	C ₁₇ H ₁₅ BrN ₄ O ₃	51.57 51.56	3.58 3.61	19.09 19.06	7.62 6.67	264–265 (разл.)	264–265 (разл.)	62
8	C ₁₈ H ₁₅ BrN ₂ O ₂ S	57.83 57.86	3.80 3.78	21.40 21.38	9.50 9.49	7.52 7.50	> 300 (разл.)	82
9a	C ₁₈ H ₁₄ BrClN ₂	56.25 56.27	3.68 3.67	20.78 20.80	10.97 10.94	298–300 (разл.)	298–300 (разл.)	90
9b	C ₁₈ H ₁₄ BrN ₃ O ₂	62.33 62.36	3.78 3.81	18.87 18.86	8.35 8.37	6.60 6.61	> 300 (разл.)	90
10a	C ₂₂ H ₁₆ BrClN ₂	60.83 60.84	3.67 3.71	18.42 18.40	9.70 9.68	> 300 (разл.)	> 300 (разл.)	93
10b	C ₂₂ H ₁₆ BrN ₃ O ₂	53.02 53.00	3.43 3.40	20.77 20.74	14.51 14.54	> 275 (разл.)	> 275 (разл.)	63
11	C ₁₇ H ₁₃ BrN ₄ O ₂	53.85 53.88	3.28 3.27	19.93 19.91	8.10 7.99	> 290 (разл.)	> 290 (разл.)	84
12	C ₁₈ H ₁₃ BrN ₂ O ₂ S							

* Соединение **11** перекристаллизовано из 2-ПрОН, осталльные соединения из MeOH–гексан, 1 : 1.



Структурно-значимые корреляции NOESY (*a*) и HMBC (*b*) для соединения **5b**

и образуются бромиды 10-арил-1-метил-1Н-имидаzo[1,2-*b*]изохинолин-4-ия **9a,b**, 6-арил-5-метил-5Н-бензимидазо[1,2-*b*]изохинолин-12-ия **10a,b**, 3-метил- 8-нитро-10-фенил[1,3]тиазоло[3,2-*b*]изохинолин-4-ия (**12**). В случае бромида [1,2,4]триазоло[4,3-*b*]изохинолиния **7b** эффективное превращение в бромид 1-метил-8-нитро-10-фенил-1Н-[1,2,4]триазоло[4,3-*b*]изохинолин-4-ия (**11**) удалось осуществить путём нагревания соли **7b** в уксусном ангидриде, так как при нагревании её в присутствии HBr дегидратация протекала медленно и сопровождалась образованием побочных продуктов.

Особенностью спектров ЯМР ¹H (табл. 2) ароматических солей азоло-[*b*]изохинолиния **9–12** является присутствие синглета ароматического протона H-5 (H-6 для **10a,b**) с химическим сдвигом $\delta > 10.0$ м. д. В их ИК спектрах, в отличие от ИК спектров дигидропроизводных **5–8**, наблюдается полоса средней интенсивности при $1603\text{--}1639\text{ cm}^{-1}$, отнесённая к валентным колебаниям связи C=N. Все соли **9–12** окрашены и в их УФ спектрах присутствуют интенсивные максимумы поглощения в диапазоне $\lambda 350\text{--}482\text{ nm}$, что характерно для катионов азоло[*b*]изохинолиния [7–9].

С целью оценки биологического потенциала описанных в работе веществ был рассчитан спектр биологической активности. В расчётах была использована программа PASS (Prediction of Activity Spectra for Substances) [10–12]. В основу выборки активных соединений положена многоуровневая оценка ближайшего окружения атомов и сравнение рассчитанных 2D дескрипторов с набором таковых, отвечающих либо высокой активности, либо её отсутствию. Конечный результат представляется

программой как вероятность проявления соединением активности (p_a) и неактивности (p_i) в долях единицы. Был рассчитан спектр для более 3000 типов активностей для каждого соединения, порогом активности было выбрано $p_a > 0.75$; $p_i < 0.2$. Среди активностей, характерных для соединений **3**, **4**, следует отметить предсказанное свойство антагонистов хемокинов подсемейства CC, вызывающих миграцию моноцитов из крови в ткани и их дифференцировку в макрофаги. Наиболее высокие показатели p_a для соединений **4a,b** составляют, соответственно, 0.854 [$p_i = 0.009$] и 0.862 [$p_i = 0.008$]. Заслуживает упоминания также предсказанная активность ароматических солей **9–12** в ингибиции пролиламинопептидазы, участвующей в процессе энзиматического разложения белков и отвечающей за вовлечение в метаболизм регуляторных пептидов для различных типов клеток: **9a** – $p_a = 0.821$, $p_i = 0.063$, **10a** – $p_a = 0.796$, $p_i = 0.073$.

ЭКСПЕРИМЕНТАЛЬНАЯ ЧАСТЬ

ИК спектры (таблетки KBr) зарегистрированы на приборе Perkin–Elmer Spectrum BX. УФ спектры получены на приборе UV-vis Spectrometer Lambda 20 в метаноле. Спектры ЯМР ^1H записаны на приборе Bruker Avance DRX 500 (500 МГц). Эксперименты по двумерной корреляционной спектроскопии выполнены на приборе Varian Mercury 400 (400 и 100 МГц соответственно ^1H и ^{13}C), внутренний стандарт ТМС. Температуры плавления определены на нагревательном приборе Тиле. Контроль чистоты полученных соединений осуществлялся масс-спектрометрически методом ВЖХ на приборе Agilent 1100 Series, с селективным детектором Agilent LC/MSD SL (образец вводился в матрице $\text{CF}_3\text{CO}_2\text{H}$, ионизация ЭУ).

Физико-химические характеристики и данные элементного анализа синтезированных соединений **3–12** представлены в табл. 3.

[2-(Бромметил)фенил](4-хлорофенил)метанон (**1a**) – по методике [13], [2-(бромметил)-5-нитрофенил](фенил)метанон (**1b**) – в виде смеси с содержанием соединения **1b** 70% по методике [14].

Бромиды 3-(2-бензоилбензил)-1-метил-1Н-имида́зол-3-ия (3a, 4a), 1-(2-бензоилбензил)-3-метил-3Н-бензимида́зол-1-ия (3b, 4b), 4-(2-бензоил-4-нитробензил)-1-метил-1Н-1,2,4-триа́зол-4-ия (4c), 3-(2-бензоил-4-нитробензил)-4-метил-1,3-тиа́зол-3-ия (4d) (общая методика). К раствору 0.5 г (1.6 ммоль) [2-(брому́тый)фенил](4-хлорфенил)метанона **1a** (или 0.73 г смеси, содержащей 70% (1.6 ммоль) [2-(брому́тый)-5-нитрофенил](фенил)метанона **1b**) в 10 мл безводного бензола прибавляют 1.7 ммоль соответствующего азала **2a–d** и выдерживают при комнатной температуре 1–2 дня в случае соединения **2a**, 4 дня – **2b**, 10 дней – **2c** и 30 дней – **2d**. Бесцветный осадок отфильтровывают, промывают ацетоном.

Бромиды 10-арил-10-гидрокси-1-метил-5,10-дигидро-1Н-имида́зо[1,2-*b*]-изохинолин-4-ия 5a,b, 6-арил-6-гидрокси-5-метил-6,11-дигидро-5Н-бензимида́зо[1,2-*b*]изохинолин-12-ия 6a,b, 10-гидрокси-1-метил-8-нитро-10-фенил-5,10-дигидро-1Н-[1,2,4]триа́золо[4,3-*b*]изохинолин-4-ия (7b), 10-гидрокси-3-метил-8-нитро-10-фенил-5,10-дигидро[1,3]тиа́золо[3,2-*b*]изохинолин-4-ия (8) (общая методика). Смесь 1.02 ммоль бромида азала **3a,b, 4a–d** и 0.5 мл морфолина в 10 мл аце́тона кипятят 1.5 ч, а в случае бромида тиазолия **4d** – 0.5 ч. Охлаждают, отфильтровывают осадок и промывают ацетоном.

Соединение 5b. Спектр ЯМР ^{13}C (ДМСО-d₆), δ , м. д.: 148.3 (C-8); 143.4 (C-10a); 141.9 (C-1'); 139.9 (C-9a); 134.4 (C-5a); 130.0 (C-2',6'); 129.5 (C-4'); 128.9 (C-6); 126.0 (C-2); 125.8 (C-3',5'); 123.7 (C-7); 123.0 (C-9); 121.6 (C-3); 70.1 (C-10); 48.5 (C-5); 36.3 (CH_3).

Бромид 10-гидрокси-8-нитро-10-фенил-1-этилимиазо[1,2-*b*]изохинолин-4-ия (5c) получают по описанной выше методике синтеза бромидов азолия 3, 4 (время выдерживания раствора – 1 день) в виде смеси, содержащей бромид 3-(2-бензоил-4-нитробензил)-1-этил-1Н-имиазол-3-ия (4e, 82%) и продукт циклизации 5c. К этой смеси прибавляют 0.6 мл морфolina, 10 мл бензола и кипятят 1 ч. Охлаждают, отфильтровывают осадок и промывают ацетоном.

Бромид 10-(4-хлорфенил)-10-гидрокси-1-метил[1,2,4]триазоло[4,3-*b*]изохинолин-4-ия (7a) получают по описанной выше методике синтеза бромидов азолия 3, 4 (время выдерживания раствора – 15 дней) в виде смеси, содержащей бромид 4-[2-(4-хлорбензоил)бензил]-1-метил-1Н-1,2,4-триазол-4-ия (3c, 65%) и гидробромид 1-метил-1Н-1,2,4-триазола 2c·HBr. К этой смеси прибавляют 0.3 мл морфolina, 10 мл ацетона и кипятят 1.5 ч. Охлаждают, отфильтровывают осадок и промывают ацетоном.

Бромиды 10-арил-1-метил-1Н-имиазо[1,2-*b*]изохинолин-4-ия 9a,b, 6-арил-5-метил-5Н-бензимиазо[1,2-*b*]изохинолин-12-ия 10a,b, 3-метил-8-нитро-10-фенил[1,3]тиазоло[3,2-*b*]изохинолин-4-ия (12) (общая методика). Смесь 0.7 ммоль соли 5a,b, 6a,b, 8 и 5 мл 48% раствора HBr кипятят 4 ч. Упаривают растворитель в вакууме. К остатку прибавляют 20 мл воды, твёрдое вещество отфильтровывают, промывают водой и 2-пропанолом.

Соединение 9a. УФ спектр, λ_{\max} , нм ($\lg \varepsilon$): 242 (4.55), 380 (4.22), 400 (4.21).

Соединение 9b. УФ спектр, λ_{\max} , нм ($\lg \varepsilon$): 262 (4.44), 418 (4.21), 430 (4.22).

Соединение 10a. УФ спектр, λ_{\max} , нм ($\lg \varepsilon$): 286 (4.55), 426 (3.88), 450 (3.85).

Соединение 10b. УФ спектр, λ_{\max} , нм ($\lg \varepsilon$): 290 (4.65), 458 (3.88), 482 (3.89).

Соединение 12. УФ спектр, λ_{\max} , нм ($\lg \varepsilon$): 270 (4.47), 412 (4.00), 428 (4.05).

Бромид 1-метил-8-нитро-10-фенил-1Н-[1,2,4]триазоло[4,3-*b*]изохинолин-4-ия (11). Смесь 0.3 г (0.75 ммоль) соединения 7b и 4 мл уксусного ангидрида кипятят 2 ч. Охлаждают, осадок отфильтровывают и промывают 2-пропанолом. УФ спектр (MeOH), λ_{\max} , нм ($\lg \varepsilon$): 260 (4.69), 350 (4.78), 410 (3.81).

СПИСОК ЛИТЕРАТУРЫ

1. А. В. Задорожный, В. А. Ковтуненко, А. В. Туров, *XTC*, 1185 (2010).
2. В. М. Кисель, В. А. Ковтуненко, А. В. Туров, А. К. Тылтин, Ф. С. Бабичев, *ДАН*, **306**, 628 (1989).
3. В. А. Ковтуненко, Л. М. Потиха, Р. М. Гуцул, *Журн. орг. фарм. химии*, **7**, вып. 1(25), 17 (2009).
4. R. C. Fuson, *Chem. Rev.*, **16**, 1 (1935).
5. И. К. Моисеев, М. Н. Земцова, Н. В. Макарова, *XTC*, 867 (1994). [*Chem. Heterocycl. Comp.*, **30**, 745 (1994)].
6. Л. М. Потиха, В. А. Ковтуненко, *Успехи химии*, **78**, 558 (2009).
7. В. Н. Бубновская, Г. Н. Мискевич, Ф. С. Бабичев, *Укр. хим. журн.*, **39**, 188 (1973).
8. C. K. Bradsher, M. G. Frazer, W. S. Burnham, *J. Heterocycl. Chem.*, **9**, 177 (1972).
9. A. Messmer, Gy. Hajós, A. Gelléri, L. Radics, *Tetrahedron*, **42**, 5415 (1986).
10. D. A. Filimonov, V. V. Poroikov, Yu. V. Borodina, T. Gloriozova, *J. Chem. Inf. Comput. Sci.*, **39**, 666 (1999).

11. V. V. Poroikov, D. A. Filimonov, Yu. V. Borodina, A. A. Lagunin, A. Kos, *J. Chem. Inf. Comput. Sci.*, **40**, 1349 (2000).
12. V. V. Poroikov, D. A. Filimonov, *J. Computer-Aided Molecular Design*, **16**, 819 (2002).
13. D. H. Kim, A. A. Santilli, T. S. Sulkowski, S. J. Childress, *J. Org. Chem.*, **32**, 3720 (1967).
14. S. Gobbi, A. Cavalli, M. Negri, K. E. Schewe, F. Belluti, L. Piazzini, R. W. Hartmann, M. Recanatini, A. Bisi, *J. Med. Chem.*, **50**, 3420 (2007).

*Киевский национальный университет
им. Тараса Шевченко, Киев 01033, Украина
e-mail: potikha_l@mail.ru*

Поступило 15.10.2009